

УДК 621.833:539.4

# Исследование влияния параметров приближенного зацепления на распределение нагрузки по длине зубьев колес

**Ф.И. Плеханов**

*Рассматривается внутреннее зацепление эвольвентного сателлита с колесом, зубья которого выполнены в виде перемычек; создана математическая модель, на базе которой установлено влияние нагруженно-деформированного состояния элементов зацепления на закон распределения нагрузки.*

**Ключевые слова:** зацепление, планетарная передача, нагруженно-деформированное состояние, распределение нагрузки.

*The internal mesh of involute planet pinions of planetary train with gear, the teeth of which are carried out in the form of cross — piece is considered in the article. Mathematical model is created, on base of which the influence of stressed — deformed state of mesh elements on the law of load distribution is established.*

**Keywords:** mesh, planetary gear, laden — strained state, loading distribution.

Использование в планетарных передачах приближенного внутреннего зацепления позволяет существенно упростить конструкцию механического привода, снизить его радиальный размер. Особенно эффективно использование такого зацепления в планетарных передачах  $S - 2R$ , содержащих три центральных колеса в качестве основных звеньев (солнечную шестерню  $S$  и два колеса с внутренними зубьями  $R$ ). В указанной конструкции ведомое тихоходное центральное колесо выполнено в виде барабана с зубьями-перемычками, боковые профили которых очерчены по удлиненной эвольвенте, эпитрохоиде или прямой, и расположено коаксиально внутри неподвижного центрального колеса с укороченными эвольвентными зубьями (рис. 1). Солнечная шестерня и сателлиты имеют эвольвентные зубья [1].

Отсутствие момента, разворачивающего сателлит, в описываемой передаче позволяет избавиться от сложного в изготовлении водила, заменив его плавающим опорным кольцом, что благоприятно сказывается на распределении нагрузки по потокам мощности и на несущей способности привода. Однако прогиб зуба-перемычки в процессе работы механизма приводит к неравномерному распределению нагрузки по его длине. В связи с этим для рационального проектирования такой передачи важно установить влияние параметров приближенного зацепления на нагруженно-деформированное состояние зубьев и на закон распределения нагрузки.

**ПЛЕХАНОВ**

**Федор Иванович**

доктор технических наук,  
профессор,  
директор Глазовского  
инженерно-  
экономического института  
(филиал Ижевского  
государственного  
технического  
университета)

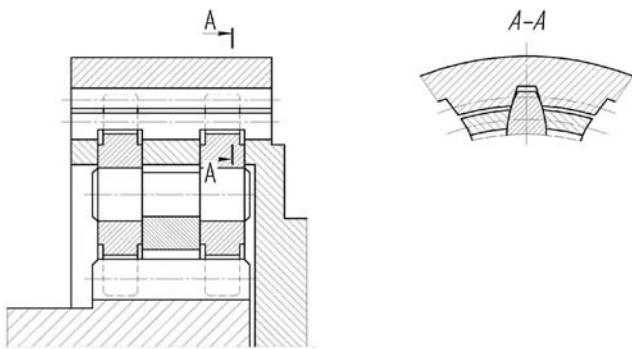


Рис. 1. Планетарная передача с приближенным внутренним зацеплением колес

Для снижения неравномерности распределения нагрузки по длине зуба-перемычки необходимо зуб сателлита выполнить бочкообразным (рис. 2). В этом случае связь между перемещениями в зацеплении выражается уравнением

$$y_k(x) = v - y_3(x) - |y_n(x)|, \quad (1)$$

где  $y_k(x)$  — контактное перемещение (сближение зубьев);  $v = \text{const}$ ;  $y_3(x)$  — уравнение линии зуба (уравнение линии пересечения боковой поверхности зуба с осью поверхности сателлита);  $y_n(x)$  — перемещение перемычки, обусловленное действием изгибающего момента  $M(x)$  и поперечной силы  $Q(x)$ .

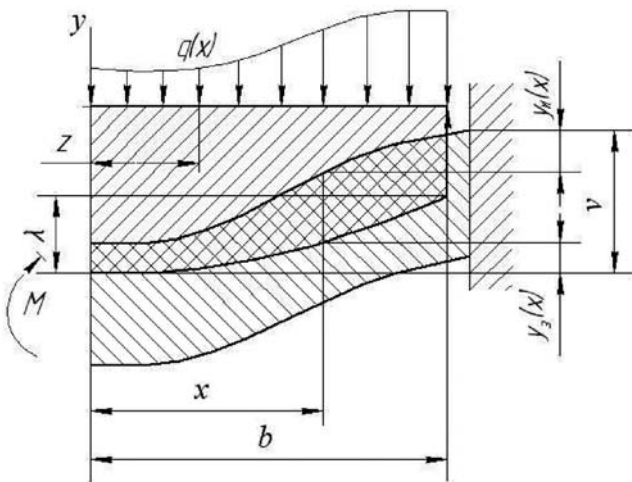


Рис. 2. Схема нагруженно-деформированного состояния зубьев сателлита и тихоходного колеса

Запишем уравнение связи контактного перемещения с погонной нагрузкой  $g(x)$  и контактной жесткостью зацепления:

$$C \quad (C = E/4 [2]),$$

где  $E$  — модуль Юнга, а также уравнение изогнутой оси перемычки:

$$y_k(x) = g(x)/C, \quad (2)$$

$$y_n^{II}(x) = M(x)/(IE) + kg(x)/(GF), \quad (3)$$

$$M(x) = M - \int_0^x g(z)(x-z)dz, \quad (4)$$

где  $k$  — коэффициент формы сечения перемычки ( $k = 1,2$ );  $I$  — осевой момент инерции поперечного сечения перемычки ( $I = hs^3/12$ );  $h$  — высота сечения;  $s$  — средняя его толщина;  $F$  — площадь поперечного сечения ( $F = hs$ );  $G$  — модуль упругости 2-го рода.

С учетом этого уравнение (1) примет следующий вид:

$$g^{II}(x)/C = -y_3^{II}(x) + M(x)/(IE) + kg(x)/GF. \quad (5)$$

Определим  $y(x)$ , соответствующее равномерному распределению нагрузки ( $g(x) = g$ ):

$$y_3^{II}(x) = [M - \int_0^x g(x-z)dz] + kg/(GF) \quad (6)$$

или

$$y_3^{II}(x) = (M - gx^2/2)/IE + kg/(GF). \quad (7)$$

Из универсального уравнения изогнутой оси  $M = gb^2/6$ . Тогда, интегрируя дважды дифференциальное уравнение (7), получим

$$y_3(x) = gx^2[(b^2 - 0,5x^2)/(IE) + 7,2/(GF)]/12. \quad (8)$$

Толщина бочкообразного зуба сателлита у торца должна быть меньше его толщины в средней части:

$$2y_3(b) = 2\lambda = gb^2[3/(hs) + b^2/(hs^3)]/E. \quad (9)$$

Реализовать такое очертание технологически сложно. Наиболее легко реализуемым является очертание в виде дуги окружности радиуса  $R$ . В этом случае при  $y_3(b) = \lambda(b^2 + \lambda^2)/(2\lambda)$  уравнение кривой имеет вид

$$y_3(x) = R - (R^2 - x^2)^{1/2} = (b^2 + \lambda^2)/(2\lambda) - \{[(b^2 + \lambda^2)/(2\lambda) - x^2]^{1/2}. \quad (10)$$

Установим закон распределения нагрузки по длине зуба сателлита, очерченного по кривой, описываемой выражением (10), используя для простоты решения аппроксимацию этого уравнения в виде гиперболического косинуса:

$$y_3(x) = \lambda[ch(1,32/b) - 1], \quad (11)$$

где величина  $\lambda$  определяется из равенства (9).

Из уравнения (5) после подстановки в него выражений (4), (11) и дифференцирования по  $x$  дважды получим

$$g^{IV}(x) - g^{II}(x)Ck/(GF) + g(x)C/(IE) = -\lambda C(1,32/b)^4 \operatorname{ch}(1,32x/b). \quad (12)$$

Решение данного дифференциального уравнения имеет следующий вид:

$$g(x) = C_1 \operatorname{sh}(\alpha x) \sin(\beta x) + C_2 \operatorname{ch}(\alpha x) \cos(\beta x) + A \operatorname{ch}(1,32x/b). \quad (13)$$

Здесь

$$A = \lambda C [Ck(b/1,32)^2/(GF) - C(b/1,32)^4/(IE) - 1]^{-1}, \quad \alpha = n \cos \omega, \quad \beta = n \sin \omega; \\ n = [12SC/(HE)]^{1/4}/S; \\ \omega = 0,5 \arccos \{k/[48HG^2/(CSE)]^{1/2}\}.$$

Постоянные интегрирования  $C_1$  и  $C_2$  определяются из уравнения совместности перемещений (1) и уравнения статики:

$$g^I(b)/C = y_{II}^I(b) - y_3^I(b), \quad \int_0^b g(x) dx = gb.$$

Подставляя сюда выражения (11), (13) и учитывая, что при  $x = b$  угловое перемещение переключки обусловлено только действием поперечной силы (деформацией кручения зуба колеса у мест его заделки в обод пренебрегаем ввиду ее малости, т. е.

$$y_{II}^I(b) = \int kg(x) dx / (GF) + C_3|_{x=b},$$

$C_3 = 0$  из условия симметрии кривой перемещения), получим после преобразований:

$$C_1 [\alpha \operatorname{ch}(\alpha b) \sin(\beta b) - \beta \operatorname{sh}(\alpha b) \cos(\beta b)] + C_2 [\beta \operatorname{ch}(\alpha b) \sin(\beta b) + \alpha \operatorname{sh}(\alpha b) \cos(\beta b)] = b(g - 1,317A)(\alpha^2 + \beta^2), \quad (14)$$

$$C_1 [\alpha \operatorname{ch}(\alpha b) \sin(\beta b) + \beta \operatorname{sh}(\alpha b) \cos(\beta b)] + C_2 [-\beta \operatorname{ch}(\alpha b) \sin(\beta b) + \alpha \operatorname{sh}(\alpha b) \cos(\beta b)] = kgbC/(GF) - 2,294(A + \lambda C)/b. \quad (15)$$

На рис. 3 представлены кривые распределения нагрузки, отнесенной к среднему ее значению  $g$ , в зависимости от длины зуба сателлита, выраженной в долях модуля зацепления  $m$ , при отсутствии бочкообразности, т. е. при  $\lambda = 0$  (по оси абсцисс отложена координата, отнесенная к половине длины зуба  $b$ ), а на рис. 4 показаны

аналогичные кривые при наличии бочкообразности, построенные по уравнению (13) при  $H = m, S = 1,5m$ .

Из представленных на рис. 3 и рис. 4 графиков следует, что при выполнении зубьев сателлита бочкообразными распределение нагрузки по их длине близко к равномерному (при рациональном значении длины всего зуба  $B = 2b = 3m$  коэффициент неравномерности  $k_{H\beta} = g_{\max}/g$  не превышает 1,03).

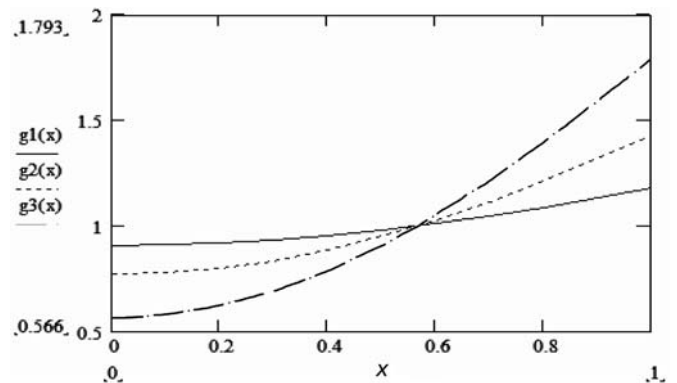


Рис. 3. Кривые распределения нагрузки по длине линии контакта при отсутствии бочкообразности зуба сателлита:

—  $B = 2b = 2m$ ; - - -  $B = 2b = 3m$ ;  
- · -  $B = 2b = 4m$

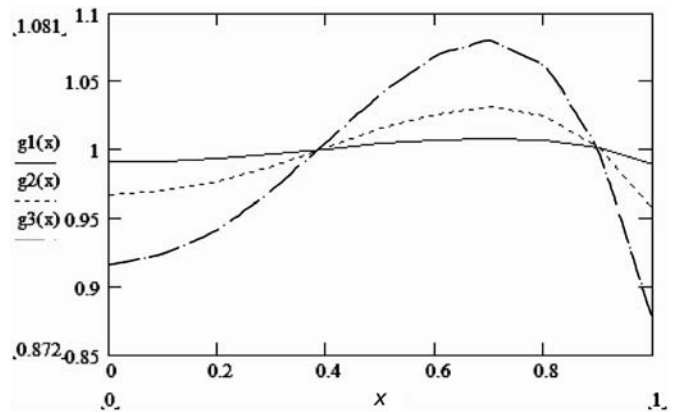


Рис. 4. Кривые распределения нагрузки по длине бочкообразного зуба сателлита:

—  $B = 2b = 2m$ ; - - -  $B = 2b = 3m$ ;  
- · -  $B = 2b = 4m$

Список литературы

1. Плеханов Ф.И., Молчанов С.М., Скопин А.А. Симметрия нагружения элементов — важнейший принцип конструирования зубчатых передач / Приводная техника. 2003. № 4. С. 30—34.
2. Айрапетов Э.Л., Генкин М.Д. Деформативность планетарных механизмов. М.: Наука, 1973. 212 с.

Статья поступила в редакцию 02.03.2009 г.